



## College of Basic Education Researches Journal

<https://berj.uomosul.edu.iq/>



### Study of adsorption isotherms of some industrial dyes using atbalkite clay

Qahtan hamed khalil

Safwan Abdul Sattar Muhammad

Department of Chemistry, College of Education for Pure Sciences\ University of Mosul, Mosul, Iraq

#### Article Information

##### Article history:

Received: January 20, 2025

Reviewer: February 1, 2025

Accepted: February 16, 2025

Available online

##### Keywords:

Adsorption, Dyes, Isotherms.

#### Abstract

This research dealt with a study of treatment of some industrial and similar dyes with (o-tolidin (2,6-dimathelanlin) (2,4,6-Tri-mathelanlin) by applying adsorption technique using material Atablekite clay available in western regions of Iraq, characterized with mass availability and at low economic cost. This material was prepared by crushing, washing, drying and studying it for adsorption of the above – mentioned dyes.

Aqueous solutions of these dyes were prepared using specific proportion of water with solvent (ethanol) and determining optimum conditions for the best amount of adsorbent, which was (0.1g), as well as the best concentration, temperature and pH, using single – meal method. In this research, thermodynamic values were calculated. ( $\Delta S, \Delta H, \Delta G$ ) at equilibrium. It became clear through this research that enthalpy value was equal to a negative value ( $\Delta H = -$ ) meaning that reaction is exothermic, and value of ( $\Delta G = -$ ) indicates spontaneity of reaction. It also became clear for researchers that adsorption process of these dyes has a physical characteristic, physical adsorption, meaning association of adsorbent and adsorbed material through van der Waals bonds.

This research also included calculating some dye adsorption isomers such as Langmuir-Freundlich and obtaining some important values such as (b) ( $Q_{MAX}$ ) and (n) which provide confirmation of values obtained in thermodynamic study.

## دراسة ثرمودينميكية لامتزاز بعض الصبغات الصناعية بوساطة طين أتيلكيات من تغير ثوابت ايزوثرمات امتزاز فرندلخ ولانكمایر مع درجة الحرارة

صفوان عبد الستار محمد علي

قطنان حميد خليل

قسم الكيمياء ، كلية التربية للعلوم الصرفة، جامعة الموصل، الموصل، العراق

### المستخلص

تناول هذا البحث دراسة لمعالجة بعض الصبغات الصناعية والمتماثلة بـ 2,6,2-tolidin (O-tolidin) من خلال تطبيق تقنية الامتزاز باستخدام مادة طين أتيلكيات المتوفرة في المناطق الغربية من العراق والذي يتمتاز بكونه مادة متوفرة بكميات كبيرة وذات كلفة اقتصادية قليلة، حيث تم تهيئة هذه المادة من خلال سحقها وغسلها وتجفيفها ودراستها لامتزاز الصبغات المذكورة أعلاه.

تم تحضير المحاليل المائية لهذه الصبغات المحضرة باستخدام نسب معينة من الماء مع المذيب (الإيثانول) وتحديد الظروف المثلية لأفضل كمية للمادة المازة التي كانت (0.1g) وكذلك أفضل تركيز ودرجة حرارة و pH وباستخدام طريقة الوجبة الواحدة وكذلك تم في هذه البحث حساب القيم الثرمودينميكية  $(\Delta S, \Delta H)$  ، ( $\Delta G$ ) عند الاتزان . واتضح من خلال هذه البحث ان قيمة أنتالبي كانت تساوي قيمة سالبة ( $=\Delta H$ ) اي ان التفاعل باعث للحرارة وقيمة ( $=\Delta G$ ) دالة على تلقائية التفاعل وايضاً تبين لنا ان عملية الامتزاز لهذا الصبغات ذات صفة فيزيائية (امتزاز فزيائي) اي ارتباط المادة المازة والمتمتزة من خلال اواصر فاندرفالز.

وايضاً تناول هذا البحث حساب بعض الایزومرات الامتزاز الصبغات مثل (لانكمایر - فرندلخ) والحصول على بعض القيم المهمة مثل قيمة (b) و ( $Q_{MAX}$ ) و (n) التي تعطي تأكيد للقيم التي تم الحصول عليها في الدراسة الثرمودينميكية.

**الكلمات المفتاحية:** الامتزاز ، الاصباغ ، الایزومرات.

## - المقدمة Introduction

تمثل البيئة موطن الحياة وأول ما يجب القيام به هو حماية هذه البيئة من التلوث حيث تعتبر من أكبر المشاكل وأكثرها انتشاراً على وجه العالم بسبب التقدم التكنولوجي، للصناعة والزراعة. ويعتبر تلوث المياه من أهم العوامل البيئية لأن المياه مهمة جداً في حياتنا اليومية. حيث يمثل المياه سر الحياة لكل ما يعيش على الأرض (العايد، ابراهيم، 2015)، وفي الآونة الأخيرة، شهدت مصادر المياه تدهوراً كبيراً ذلك نتيجة لتصريف الآف من المركبات الكيميائية يومياً وبشكل مباشر أو غير مباشر دون أي معالجة تذكر وكذلك هناك أنواع عدّة لتلوث المياه منها التلوث العضوي، التلوث الكيميائي، التلوث الحراري، التلوث الإشعاعي. وكذلك بينت الدراسات الحديثة في العصر الحالي أن الإنسان أمام مشاكل كبيرة يحتاج إلى التخلص منها ومعالجتها مثل تلوث البيئة والذي يكون للإنسان الدور الكبير والرئيسي في زيادة المخاطر من خلال النشاطات المختلفة لزراعة. (Zhang B, Zeng X, Xu P, Chen J, Xu Y, Luo G, 2015) إن من أهم الملوثات التي تلوث الانظمة المائية هي الأصباغ، حيث وصلت كمية الأصباغ المنتجة إلى (4.5) مليون طن في عام (1996) م. معظم الكميات تستخدم الصناعات التكميلية مثل صباغة الأنسجة. (Javaid R, Qazi UY, Ikhlaq A, Zahid M, Alazmi A, 2021)

والعديد من الأصباغ أما تكون خاملة أو تكون غير سامة. كما ان هناك بعض الأصباغ التي لها تأثيرات سمية شديدة على الإنسان الصباغ المنتشرة. (Benzidine) (Zhang B, Zeng X, Xu P, Chen J, Xu Y, Luo G, 2015)

حيث تمثل الأصباغ من أكبر أنواع المركبات العضوية المحضرة صناعياً، ولها العديد من استخدامات ومنها صباغة الملابس والمواد الغذائية، حيث يستخدم في صباغة الأقمشة بأصباغ مختلفة ويتم صبغ الألياف والصوف والحرير بالأصباغ الحامضية والاصطناعية مباشرة. إن المضافات الغذائية التي تتعرض لها يومياً تقريرياً تولد سواماً في أجسامنا. فأصبح المستهلك أكثر اهتماماً ب الغذائي نظراً للأدراك في تشكل هذه المواد المضافة وسميتها، وهي احدى العمليات القديمة المستخدمة في الطب التقليدي .(لزول، أمينة ياسمين 2021) مستخدمة عدة طرق للتخلص من الأصباغ أهمها عمليات الامتزاز، الأكسدة الكيميائية، المعاملة بالأوزون، الطرق البيولوجية ،الضغط الازموزي العكسي وغيرها الكثير من العمليات الأخرى (Ab Kadir NN, Shahadat M, Ismail 2017) (Mattson JA, Mark Jr HB, Malbin MD, Weber Jr WJ, 1969) ويعتبر الامتزاز من الطرق المهمة والاقتصادية المستخدمة للتخلص من الملوثات. ، لتنمية وتطوير وخلق فرص عمل للعاملين لنفس المنطقة . الهدف الرئيسي من الدراسة هو تقييم اطيان منطقة خاصة او

محدد لتطبيقات مواد البناء (ميادة صبحي جودي، حيدر يعقوب مهدي، & جعفر نوري جعفر.. . (2023

### 1-1- الامتراز Adsorption

يعد الامتراز من التقنيات المعروفة ويمثل اهمية في العديد من الصناعات في الوقت الحاضر، ولا يستغني عنه في تطبيقات واستخدامات. ويستخدم في صناعات البترول والاصباغ وكذلك الـ صناعات الغذائية المتنوعة (الالبان والزيوت) (S.Kumar,S.N.Upadhyay and Y.D.) وهو عملية فصل الجزيئات الضعيفة من البيئة إلى الجزء الأكبر سطح الطور الصلب السمات الفريدة (Pourhakkak, P., Taghizadeh, A., Taghizadeh, M., Ghaedi, M., & Haghdoost, S.,2021)

### 1-2- ايزوثرمات الامتراز Adsorption isothermates

وهي عبارة عن معادلات رياضية للدراسة الامتراز والتفاعلات بين المادة المازة والممترزة والتي تعطي المعلومات الضرورية حول سعة المادة المازة، من خلال رسم نماذج تساوي درجة الحرارة على أنها تمثل عدد المليغرامات الممترزة لكل جرام من المادة المازة مقابل التركيز التوازن للمادة ويتم لذلك، ثم تحليل البيانات التجريبية بواسطة نماذج Langmuir وFreundlich (Maged, A. Khan و Toth و Redlich-Peterson و Freundlich Langmuir- et al,2020)

### 3-1- دراسة ايزوثرمات الامتراز Study of Adsorption Isotherms

يعد دراسة الأصباغ من محاليلها المائية والحصول على قيم عملية لكل من (سعه الامتراز والتركيز المتبقى عند حالة التوازن) لكل الصبغات طبقت على عدد من النماذج والايزوثيرمية المتوفرة في الأدبيات وهي:

1- ايزثيرم لانكمایر: حيث تم حساب كل من ثابت لانكمایر (b) والسعه القصوى للامتراز .(Qmax)

2- ايزوثيرم فرندلخ: حسبت قم ثوابت ايزوثيرم فرندلخ وهي (Kf، n).

3- ايزوثيرم تيمکن : تم حساب ثوابت ايزوثيرم تيمکن (BT، KT) ولغرض إنجاز الرسوم البيانية لهذه الدراسة استخدام برنامج (Excel) حيث تمكنا من خلالها حساب القيم المذكورة اعلاه.

## 2- طريقة العمل

## 1-2 تحضير المادة المازة Preparation of Adsorbent Material

تم في هذه البحث استخدام طين (اتبلاكيت) كونها مادة متوفرة في الطبيعة ورخيصة الثمن لا نجار هذه الدراسة والمجهرة من قبل دائرة المسح الجيولوجي في بغداد. وقد تم معالجة هذه الأطيان وحسب الخطوات الآتية:

- 1- وضع طين (اتبلاكيت المطحون) في بيكر كبير يحتوي على الماء المقطر حيث انفصل الجزء العالق من هذه الدقائق في الأعلى بينما الجزء الحجري سوف يكون في أسفل الدورق والذي يهمل بطريقة سكب الماء.
- 2- رشح الجزء العالق ثم غسل بالماء المقطر جيدا.
- 3- ترك النموذج للتجفيف في المختبر بتعرضه لحرارة الشمس لفترة زمنية بعد ذلك جفت العينة بدرجة حرارة (100 °C) في الفرن ومن ثم طحنت وعزلت الدقائق باستخدام المناخل ذات حجم (0.5mm) وبعد ذلك وضعت النماذج في عبوات محكمة الغلق لغرض حفظها من الرطوبة (العبادي ، 2010).
- 4- استخدمت هذه النماذج المحضرة من طين (اتبلاكيت) في الفقرات السابقة في دراسة عملية الامتاز للصبغات قيد الدراسة .

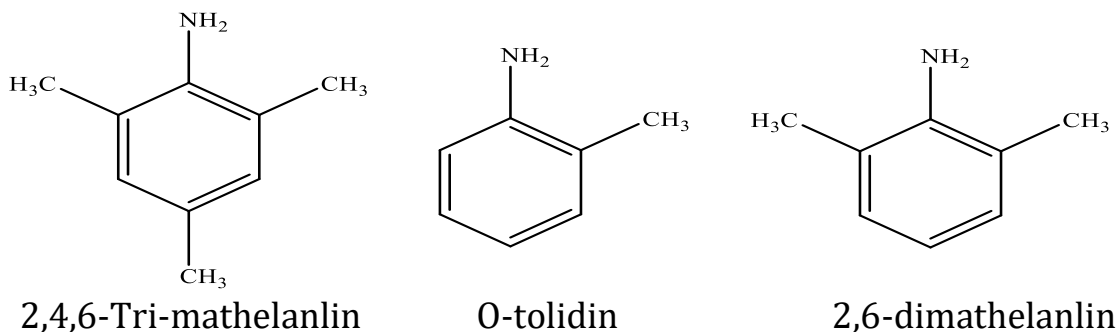
## 2-2 تقدير كمية المادة المازة

## Determination the of Adsorbent Substance

وقد أتت الصبغات المستخدمة تتميز بكافأة على سطح المواد المازة ، ولأجل دراسة العوامل المؤثرة في الامتاز عند حالة الاتزان وجب تحديد أفضل كمية من المادة المازة. حيث تم تحديد أفضل كمية من المادة المازة من خلال دراسة كافية الامتاز لمحلول بتركيز ثابت (M<sup>5</sup> 10<sup>-4</sup>) من كل صبغة مع تغير كمية المادة المازة وقد وجد أن أفضل كمية مستخدمة من المادة المازة كانت (0.1g) لكل من أصباغ(أورثو- تولدين، 2.6- دي مثيل انلين، 2.4.6- ثلاثي مثيل انلين. وايزوثيرم لانكمایر ، ايزوثيرم فرندلخ ، ايزوثيرم تيمکن .

الجدول (1)

مختصرات	الوزن الجزيئي (g\mol)	الصبغة الكيميائية	اسم الصبغة
O-T	107.16	C7H9N	أورثو- تولدين
Di-m	121.18	C8H11N	2.6- دي مثيل انلين
Tri-m	135.21	C9H13N	2.4.6-ثلاثي مثيل انلين



### 2-3- منحني المعايرة والطول الموجي لأفضل امتصاص

#### Calibration Curve and $\lambda_{max}$

لتحديد الطول الموجي لأقصى امتصاص للصبغات المدروسة حضر محلول بتركيز معين من كل صبغة بحيث يمكن قياس الامتصاص له ضمن مدى الجهاز المستخدم من خلال حساب التركيز من قانون بير لامبرت ومن ثم حساب قيمة الامتصاص لتلك المادة .

### 2-4- تقدير كمية المادة الممتدة

يعبر عن كمية المادة الممتدة (الاصباغ) على سطح المادة المازة (طين اتبلكايت) ويتم ذلك عن طريق تقدير كمية الصبغة المتبقية في المحلول بعد عملية الامتراز وطرحها من تركيز الصبغة الابتدائي (1):

$$(qe = C_i - Ce) / m \times V \quad \dots \dots (1)$$

( $C_e$ ) - تمثل تركيز المادة المتبقية في المحلول (mg/L)

( $C_e - C_i$ ) = تمثل تركيز المادة الممتدة (mg/L)

(m) - تمثل وزن المادة المازة (طين) (g)

(V) - تمثل حجم المحلول المستخدم لكل لتر

وتحسب كفاءة الامتراز للمادة الممتدة الماز (النسبة المئوية للامتراز) بحسب المعادلة

$$\dots \dots (2)$$

$$(Adsorption = (C_i - C_e) / C_i \times 100) \quad \dots \dots (2)$$

### 2-5- التركيز الابتدائي للأصباغ

يؤثر التركيز الابتدائي للصبغة على عملية الامتراز من خلال قيم النسبة المئوية للامتراز حيث يكون عامل التركيز المتغير الوحيد في هذه الحالة مع تثبيت كافة العوامل المؤثرة الأخرى الاتي :

1 - تم تحضير محلول مختلف التركيز من كل صبغة على وفق مدى ملائم لكل منها من خلال رسم منحني من ( $3.5 \times 10^{-3} M$  -  $1 \times 10^{-4} M$ ) وأضيفت كمية ثابتة من طين اتبلكايت (0.1g).

2 - تم رج محليل في الأصباغ في حمام المائي على هزاز مبرمج لمدة (90) دقيقة ثم رشحت بعد ذلك باستخدام ورق الترشيح .

3- حسب التراكيز المتبقى من الصبغة في محلول بالطريقة الطيفية من منحني المعايرة الخاص بكل صبغة وتم تقدير النسبة المئوية للأمتزاز .

### Effect of Temperature

### 6-2 -تأثير درجة الحرارة

تعد درجة الحرارة عامل مؤثر مهم في دراسة عملية الأمتزاز وعندما يكون المتغير الوحيد الخطوات الآتية :

1- حضرت محليل بتركيز متشابهة لكل صبغة من ( $-1 \times 10^{-4} M$   $9 \times 10^{-4} M$ ) والتي أفضل نسبة امتزاز واستخدام كمية من طين أتيلكيات (0.1g) لكل من صبغات محلول .

2- تم رج محلول للصبغة (90) دقيقة على جهاز هزار مبرمج في الحمام المائي عند الدرجة الحرارية المطلوبة للوصول إلى حالة الاستقرار لمدة .

4- بعد انجاز عملية الأمتزاز رشحت محليل الأصباغ وتم قياس قيم امتصاص عند الطول الموجي لكل صبغة وحسب كفاءة الأمتزاز لها.

### Effect of Contact Time

### 7-تأثير زمن التماس

يعد زمن التماس مهما في الدراسات الحركية حيث يتم من خلالها متابعة التغير في التركيز الصبغة الممتزة خلال فترة زمنية محددة حتى وصول نظام الأمتزاز إلى حالة التوازن وأنجزت الدراسة الآتي:

1- تحضير محليل من كل صبغة بتركيز متساوية ( $10^{-5} M \times 4$ ) وثبتت الظروف المثالية لعملية عن دراسة الحرارة و pH وكمية معين من الطين (0.1g) لكل من الصبغات .

2- تم رج المحاليل متساوية التركيز بشكل متواصل بسرعة رج (100 دوره/دقيقة) ثم ترشيح المحاليل بأزمان مختلفة على الترتيب.

3- استخدمت الطريقة التحليلية الطيفية لتقدير كمية المادة الممتزة باستخدام منحني المعايرة وعند الطول الموجي الخاص بكل صبغة .

### Effect acidity function (pH)

### 8-تأثير الدالة الحامضية

لأجل دراسة تأثير الدالة الحامضية على عملية الأمتزاز للأصباغ في محليلها المائي فقد اتبعت الخطوات:

1- ثبتت الظروف المثلى لعملية الأمتزاز والتي تضمنت التراكيز وكمية المادة المازة، درجة الحرارة ، زمن التماس .

2- تغير قيمة الدالة الحامضية لمحاليل الصبغات قيد الدراسة قبل ان يضاف الهيدروكلوريك (0.1 N) للوصول الى الدالة الحامضية المطلوبة لمحاليل الاصباغ قيد الدراسة قبل ان يضاف طين (0.1g) لكل من صبغات .

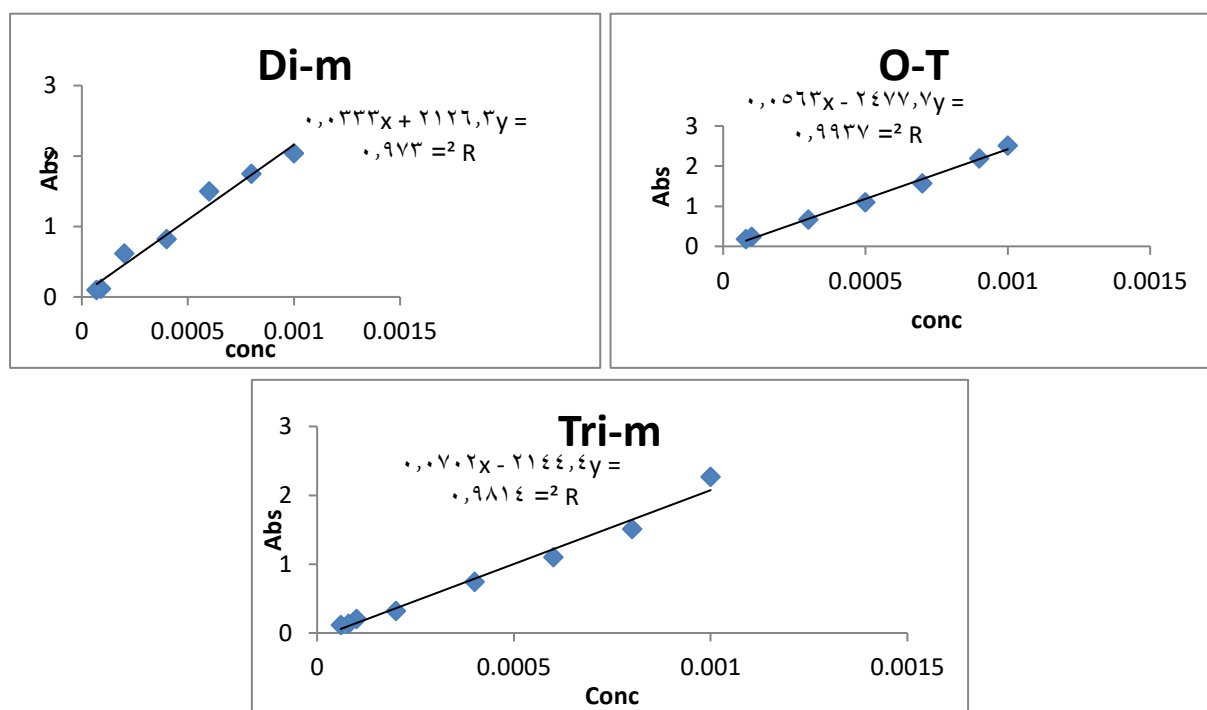
### Batch Method

### 2-9. طريقة الوجبة الواحدة او ما يعرف

تعتبر هذه من ابسط الطرق اذ تتكون من دوارق تحتوي على كمية معينة من المادة المازة لذلك تتعرض هذه المادة الى المحاليل مختلفة التراكيز حيث يتغير فيها تركيز الطور السائل ثم ترج هذه المحاليل بسرعة ثابتة عن طريق جهاز (Shakar) المهاز وعند درجة حرارة معينة ثم يتم الرج بصورة متواصلة وللفترة زمنية معينة الى ان تصل نظام الامتزاز الى حالة الاتزان ويتم بعد ذلك تقدير تركيز المادة الممترة من خلال ايجاد الفرق بين التركيز الاولى والتركيز المادة المتبقية (غير الممترة) ان هذه الطريقة تكون مفضلة عند توفير طريقة التحليلية مباشرة وسهلة التقدير (Rajabi,M., Moradi,O., & Zare, K. 2017)

### 3- النتائج والمناقشة:

ولقد أظهرت الصبغات قيد الدراسة انطباقها بشكل ممتاز على قانون ( بير - لامبرت) من خلال العلاقة الخطية عند رسم الامتصاص (Abs) مقابل التراكيز (Conc) حيث كانت قيمة معامل الارتباط ( $R^2$ ) تتراوح ما بين ( 0.997 - 0.998 ) وهذا يدل على امكانية تطبيق المعادلة ضمن مديات التراكيز الذي اعتمدا عليها في رسم المنحنيات القياسية للأصباغ في هذه الدراسة . وكما موضح في الاشكال.



**Effect of Adsorbent Dose****1-3- تأثير كمية المادة المازة:**

إن الغرض من أجراء هذه الدراسة لإيجاد الكمية المناسبة من المادة المازة (الطين) التي يمكن من خلالها تحقق حالة الاتزان للنظام المدروس مع نسبة معقولة من الامتاز والذى يمكن من أجلها تحقيق الدراسات اللاحقة الذى يؤثر على نظام الامتاز وفضلاً عن أنجاز الدراسة الشيرموداينميكية.

جدول (2) تأثير كمية الطين (أتبلاكيت) على سعة الامتاز والنسبة المئوية وعند درجة الحرارة (298) وعند تركيز  $(5 \times 10^{-4} M)$  من الصبغة و زمن التماس (90) دقيقة

اسم المركب	Dose (g/L)	Ci Mmg	$\frac{ce}{mg/L}$	$qe$ (mg/g)	النسبة المئوية لامتاز %
O-T	0.1g	53.6	4.41	49.19	%91.77
	0.075	53.6	6.1	63.3	%88.6
	0.050	53.6	6.9	93.4	%87.1
	0.025	53.6	7.2	185.6	%86.5
	0.010	53.6	7.8	458	%85.4
Di-m	0.1	60.5	4.0	56.5	%93.3
	0.075	60.5	7.0	71.3	%88.4
	0.050	60.5	8.31	104.3	%86.2
	0.025	60.5	8.6	207.6	%85.7
	0.010	60.5	8.88	516.2	%85.3
Tri-m	0.1	67.6	4.89	62.71	%92.7
	0.075	67.6	6.6	81.3	%90.23
	0.050	67.6	7.49	120.2	%88.9
	0.025	67.6	8.12	237.9	%87.9
	0.010	67.6	9.94	576.6	%85.2

ومن ملاحظة الجدول (2) نجد أن سعة الامتاز وعند التركيز  $(5 \times 10^{-4} M)$  من الصبغات تقل قيمتها فيما تزداد النسبة المئوية لامتاز مع زياد كمية المادة المازة والذي يمثل طين (أتبلاكيت) وعليه تم اعتماد كمية (0.1 g) من المادة المازة لإجراء دراسة هذا البحث.

**3-2- تأثير المذيب على الامتاز****Effect of Initial Concentration**

يعد أذابة الصبغات من المشاكل، الصعوبات التي واجهتنا في هذه الدراسة، ولأجل اكمال هذه الدراسة الذي يجب علينا اختيار المذيب المناسب ويكون قادر على اذابة الصبغات المدروسة وفضلاً عن ذلك يجب ان يستعمل بوفرة في الصناعات ويكون رخيص الثمن . لذلك وجدنا ان مادة الايثانول وهو الاختيار الافضل لهذا الدراسة. ان اذابة الايثانول ولو بكميات قليله

ثم طرحتها في البيئة مع المخلفات المائية الصناعية تكون بشكل الجزيئي الكامل أو النواتج يتم تحللها البايولوجي وبهذا تشكل خطراً كبيراً على صحة الإنسان وعلى مصادر المياه وعلى الحيوان والنباتات.

جدول (3) تأثير تركيز المذيب على عملية الامتراز عند استخدام كمية معينة من الطين (0.1g) وحجم (100ml) من محلول الصبغات بزمن تماس (90) دقيقة وعند (298k) .

اسم المركب	% الايثانول	% الماء	Ci (M)	ce mg/l	qe (mg/g)	النسبة المئوية للامتراز %
0-T	10	90	$5 \times 10^{-4}$	6.99	46.61	%86.9
	20	80	$5 \times 10^{-4}$	5.22	48.38	%90.2
	30	70	$5 \times 10^{-4}$	4.41	49.19	%91.77
	40	60	$5 \times 10^{-4}$	5.0	48.6	%90.6
	50	50	$5 \times 10^{-4}$	5.75	47.85	%89.2
	60	40	$5 \times 10^{-4}$	5.81	47.79	%89.1
Di-m	10	90	$5 \times 10^{-4}$	8.54	51.96	%85.8
	20	80	$5 \times 10^{-4}$	4.13	56.36	%93.1
	30	70	$5 \times 10^{-4}$	4.0	56.5	%93.3
	40	60	$5 \times 10^{-4}$	4.05	56.45	%93.0
	50	50	$5 \times 10^{-4}$	7.11	53.39	%88.2
	60	40	$5 \times 10^{-4}$	7.53	52.96	%87.5
Tri-m	10	90	$5 \times 10^{-4}$	8.54	51.96	%85.8
	20	80	$5 \times 10^{-4}$	4.13	56.36	%93.1
	30	70	$5 \times 10^{-4}$	4.0	56.5	%93.3
	40	60	$5 \times 10^{-4}$	4.05	56.45	%93.0
	50	50	$5 \times 10^{-4}$	7.11	53.39	%88.2
	60	40	$5 \times 10^{-4}$	7.53	52.96	%87.54

وعند النظر إلى الجداول أعلاه (3) نلاحظ أن كفاءة الامتراز وسعة الامتراز تزداد مع زيادة نسبة المئوية الايثانول إلى أن تصل النسبة (30% - 70%) من الماء والايثانول على توالٍ اي يؤدي إلى زيادة في ثابت العزل الكهربائي للمذيب.

وبعدها سوف تقل سعة الامتراز وكفاءة الامتراز في المذيب المستخدم بزيادة النسبة المئوية للإيثانول اي يحدث هنا تقليل لثابت العزل الكهربائي للمذيب . كما نعلم الماء هو أعلى المذيبات قياماً في ثابت العزل الكهربائي والذي يصل إلى (80) وبذلك وهو أعلى من الإيثانول الذي له ثابت العزل الكهربائي (65) وعند مزجه مع الإيثانول بكمية كبيرة يؤدي إلى انتاج مذيب ذات ثابت العزل كهربائي أقل ويتبين من الجدول السابقة ان أفضل كمية للمذيب هي (70% - 30%) من الماء والإيثانول والذي تم استخدامه لأجراء هذا البحث . P.W.Atkines, .((1996), "Physical chemistry)

### 3-3- تأثير التركيز الابتدائي Effect of Initial Concentration

يعتبر التركيز الابتدائي أهم العوامل المؤثرة في عملية الامتراز لأنه يحدد الظروف المثلث لنظام الامتراز، حيث ان دراسة نظام الامتراز وتأثير التركيز الابتدائي عليها يتكون من طورين (صلب - سائل) (Reddy elal., 2006: Armarego and Perrin, 1998) حيث يتضمن عملية انتقال الكتلة (التركيز الابتدائي) اي الجزيئات الممتدة وهي من القوى المهمة والمسيرة لنظام الامتراز للتغلب على القوى التي ترتبط بين الجزيئات للانتقال بين هذين الطورين .

جدول (4) تأثير التركيز الابتدائي على عملية الامتراز عند استخدام كمية معينة من الطين . وحجم (100ml) من محلول الصبغات بزمن تماس (90 ) دقيقة وعند (0.1g) (298k).

اسم المركب	C <sub>i</sub> (M)	c <sub>e</sub> mg/l	q <sub>e</sub> (mg/g)	النسبة المئوية للامتراز %
0-T	$3.5 \times 10^{-3}$	19.38	34.21	%63.0
	$3 \times 10^{-3}$	11.613	41.987	%78.3
	$2.5 \times 10^{-3}$	9.390	44.21	%82.4
	$2 \times 10^{-3}$	6.776	46.824	%87.35
	$1 \times 10^{-3}$	6.473	47.126	%88
	$9 \times 10^{-4}$	6.387	47.213	%88.08
	$7 \times 10^{-4}$	4.803	48.797	%91.0
	$5 \times 10^{-4}$	4.0287	49.571	%92.4
	$3 \times 10^{-4}$	4.2987	49.303	%91.98
	$1 \times 10^{-4}$	5.86	47.74	%89.0

جدول (5) تأثير التركيز الابتدائي على عملية الامتراز عند استخدام كمية معينة من الطين . وحجم (100ml) من محلول الصبغات بزمن تماس (90 ) دقيقة وعند (0.1g) (298k) .

اسم المركب	C <sub>i</sub> (M)	c <sub>e</sub> mg/l	q <sub>e</sub> (mg/g)	النسبة المئوية للامتراز %
Di-m	$3.5 \times 10^{-3}$	21.582	38.918	%64.3
	$3 \times 10^{-3}$	13.604	46.9	%77.5
	$2.5 \times 10^{-3}$	11.083	49.411	%81.6
	$2 \times 10^{-3}$	8.8470	51.6	%85.3
	$1 \times 10^{-3}$	8.01	52.49	%86.7
	$9 \times 10^{-4}$	7.891	52.61	%86.95
	$7 \times 10^{-4}$	6.808	53.69	%88.7

$5 \times 10^{-4}$	5.789	54.711	%90.4
$3 \times 10^{-4}$	6.032	55.068	%90.02
$1 \times 10^{-4}$	6.52	53.98	%89.2

جدول (6) تأثير التركيز الابتدائي على عملية الامتراز عند استخدام كمية معين من الطين(0.1g) وحجم (100ml) من محلول الصبغات بزمن تماس (90) دقيقة و عند (298k)

اسم المركب	Ci (M)	$ce$ $mg/l$	$qe$ $(mg/g)$	النسبة المئوية للامتراز %
Tri-m	$3.5 \times 10^{-3}$	18.7	48.9	%72.3
	$3 \times 10^{-3}$	18.8	48.8	%72.1
	$2.5 \times 10^{-3}$	14.824	52.8	%78.1
	$2 \times 10^{-3}$	10.909	56.69	%83.86
	$1 \times 10^{-3}$	9.768	57.832	%85.5
	$9 \times 10^{-4}$	8.481	59.119	%87.4
	$7 \times 10^{-4}$	5.997	61.61	%91.1
	$5 \times 10^{-4}$	5.329	62.271	%92.11
	$3 \times 10^{-4}$	5.433	62.167	%91.96
	$1 \times 10^{-4}$	5.98	61.62	91.1%

ونلاحظ من النتائج حيث ان زيادة التركيز الابتدائي لمحلول الصبغات من تركيز ( $3.5 \times 10^{-3} M$  ) هذا يؤدي الى زيادة النسبة المئوية للامتراز وذلك عند استعمال كمية ثابتة من المادة المازة (طين أتيلكيات) وتطبيقها على جميع الصبغات المدروسة حيث يتم نقصان ما بعد التركيز ( $5 \times 10^{-4}$  ) مولاري حيث يكون سبب التناقض ما بين جزيئات الصبغة فيها لامتراز على عدد ثابت من المواقع فعالة الموجود على سطح المادة المازة و السبب زيادة تركيز الصبغات في محلول الامتراز وهذا يؤدي الى التناقض ما بينها والرجوع الى محلول وهذه يتفق مع الدراسات السابقة . (شندالله ، 2012: العبادي ، السامرائي، 2006 الجرجري، 2005) لذا أظهرت هذه الدراسة من أفضل تركيز لإكمال الدراسات اللاحقة هو ( $5 \times 10^{-4} M$ ).

#### 3-4- تأثير زمن التماس Effect of Contact Time

ويعد زمن التماس ايضاً من اهم العوامل الذي يؤثر على عملية الامتراز وهو يعرف زمن بقاء المادة المازة مع المادة الممتزرة عند فترات محددة حتى وصول النظام الى حالة الاتزان وبهذا يمكن الاستفادة من البيانات التجريبية لإكمال الدراسات الحركية لانظام الامتراز والذي

يمكن من خلالها قياس معدل سرعة الامتاز (Isen et al., 2007) حيث أكمله هذه الدراسة تحت الظروف المثلى لعملية الامتاز وتحت الدالة الحامضية الطبيعية.

**جدول (7) تأثير الزمن على عملية الامتاز عند استخدام كمية معين من الطين (0.1g) وحجم (100ml) من محلول الصبغات بزمن تماس (90) دقيقة وعند (298k).**

اسم المركب	Time (min)	Ci (M)	$\frac{ct}{L}$ mg	$q_e$ (mg/g)	النسبة المئوية للامتاز %
0-T	5	$5 \times 10^{-4}$	7.0	46.6	%86.9
	10	$5 \times 10^{-4}$	6.72	46.88	%87.4
	20	$5 \times 10^{-4}$	6.72	46.88	%87.4
	30	$5 \times 10^{-4}$	6.51	47.09	%87.85
	40	$5 \times 10^{-4}$	6.47	47.13	%87.92
	50	$5 \times 10^{-4}$	6.34	47.26	%88.1
	60	$5 \times 10^{-4}$	6.06	47.54	%88.6
	70	$5 \times 10^{-4}$	5.88	47.72	%89.0
	80	$5 \times 10^{-4}$	5.195	48.40	%90.30
	90	$5 \times 10^{-4}$	4.038	49.562	%92.4

**جدول (8) تأثير الزمن على عملية الامتاز عند استخدام كمية معين من الطين (0.1g) وحجم (100ml) من محلول الصبغات بزمن تماس (90) دقيقة وعند (298k).**

اسم المركب	Time (min)	Ci (M)	$\frac{ce}{l}$ mg/l	$qe$ (mg/g)	النسبة المئوية للامتاز %
Di-m	5	$5 \times 10^{-4}$	8.572	51.92	%85.8
	10	$5 \times 10^{-4}$	8.43	52	%86.0
	20	$5 \times 10^{-4}$	8.1	52.4	%86.6
	30	$5 \times 10^{-4}$	7.787	52.71	%87.12
	40	$5 \times 10^{-4}$	7.61	52.89	%87.42
	50	$5 \times 10^{-4}$	7.5	53	%87.60
	60	$5 \times 10^{-4}$	7.28	53.22	%87.96
	70	$5 \times 10^{-4}$	6.715	53.785	%88.9
	80	$5 \times 10^{-4}$	6.7	53.8	%88.9
	90	$5 \times 10^{-4}$	5.70	54.8	%90.5

جدول (9) تأثير الزمن على عملية الامتراز عند استخدام كمية معين من الطين (0.1g) وحجم محلول الصبغات بزمن تماس (90 دقيقة) وعند (298k).

اسم المركب	Time (min)	C <sub>i</sub> (M)	c <sub>e</sub> mg/l	q <sub>e</sub> (mg/g)	النسبة المئوية للامتراز %
Tri-m	5	$5 \times 10^{-4}$	8.16	59.44	%87.92
	10	$5 \times 10^{-4}$	8.179	59.421	%87.90
	20	$5 \times 10^{-4}$	8.0	59.6	%88.1
	30	$5 \times 10^{-4}$	8.0	59.6	%88.1
	40	$5 \times 10^{-4}$	7.851	59.749	%88.38
	50	$5 \times 10^{-4}$	7.718	59.88	%88.58
	60	$5 \times 10^{-4}$	7.630	59.97	%88.71
	70	$5 \times 10^{-4}$	6.274	61.326	%90.7
	80	$5 \times 10^{-4}$	5.625	61.97	%91.6
	90	$5 \times 10^{-4}$	5.2	62.4	%92.3

كما نلاحظ ان النتائج في عملية الامتراز تكون في الدقائق الاولى سريعة وبفاءة امتراز عالية ثم تنخفض بعدها الى ان تصل نظام الامتراز الى حالة الاتزان عندما نحصل على كفاءة الامتراز ثابتة وكل الصبغات ، وبهذا يعود السبب في بداية عملية الامتراز توفر المواقع الفعالة بشكل كثير على سطح (طين أتيلكait) وبصورة طبيعية ومع مرور الوقت التماس ينخفض عدد المواقع وبذلك تبدا عملية التنافس بين جزيئات الصبغة للامتراز على المواقع المتبقية وبذلك تعمل على زيادة عملية التنافس بين جزيئات الصبغة وبهذا سوف يؤثر سلباً على سرعة الامتراز وكفاءتها على سطح المادة المازة (الطين) حيث يصل عملية الامتراز الى حالة الاتزان عند 90—70 دقيقة) وكل الصبغات .

### 3-5- تأثير الدالة الحامضية لوسط الامتراز : Effect of PH

وتعتبر دراسة تأثير الدالة الحامضية في وسط الامتراز للصبغات قيد الدراسة وعند تركيز ( $5 \times 10^{-4} M$ ) واستخدام المادة المازة بكمية (0.1g) لكل الصبغات وبدرجة الحرارة (298k) وبسرعة رج ثابتة (100 دورة / دقيقة) أدرجت النتائج الذي تم الحصول عليها في الجداول .(10,)

جدول (10) تأثير التركيز الدالة الحامضية على عملية الامتراز عند استخدام كمية معين من الطين (0.1g) وحجم (100ml) من محلول الصبغات بزمن تماس (90) دقيقة وعند (298k)

اسم المركب	PH	Ci (M)	ce mg/l	qe (mg/g)	النسبة المئوية للامتراز %
O-T	4.3	$5 \times 10^{-4}$	5.232	48.36	%90.2
	6.75*	$5 \times 10^{-4}$	4.054	59.54	%92.4
	9	$5 \times 10^{-4}$	5.45	48.15	%89.8
	11	$5 \times 10^{-4}$	5.6	48.	%89.5
Di-m	4.5	$5 \times 10^{-4}$	5.789	54.72	%90.4
	7.64*	$5 \times 10^{-4}$	4.95	55.57	%91.8
	9.3	$5 \times 10^{-4}$	5.64	54.86	%90.6
	11	$5 \times 10^{-4}$	6.26	54.24	%89.6
Tri-m	4.3	$5 \times 10^{-4}$	5.65	61.95	%91.6
	6.79*	$5 \times 10^{-4}$	5.32	62.27	%92.1
	9	$5 \times 10^{-4}$	6.90	60.70	%89.7
	11	$5 \times 10^{-4}$	8.48	59.12	%87.4

(ملاحظة : علامة (\*) تدل على ان الدالة الحامضية الطبيعية للمادة الممتزة)

ان الدالة الحامضية له تأثير على الصبغة وعلى الشحنات الموجودة على سطح طين (أتبلاكيت) لاحتوائها على الأكاسيد الفلزية وبنسب معينة وعند اكمال عملية الامتراز وعند الدالة الحامضية الطبيعية عند كل الصبغات عندئذ يكون التأثير المتبادل بين محلول الصبغة وسطح المادة المازة (الطين) يمثل العامل المؤثر في حين يلعب المذيب دوراً مهماً لتأثير على الشحنة سطح الطين ويعتبر الوسط الحامضي (pH=4) وهذا يشير الى توفير أيونات ( $H^+$ ) في محلول الصبغة بحيث كلما زادت قيمة الاس الهيدروجيني يؤدي الى انخفاض عدد أيونات ( $H^+$ ) في محلول حيث يبدو وجود ايونات ( $H^+$ ) او ( $HO^+$ ) لا تؤثر تجريبياً على كفاءة الامتراز وعملية امتراز جزيئات الصبغة على سطح المادة المازة (الطين) الا بهيئة جزئي وبهذا يشير الى ان الفعل المتبادل بين كل محلول الصبغة وسطح الماز (الطين) قليل في هاتين الوسط الحامضي والقاعدي.

### 3-6-تأثير درجة الحرارة Effect of Temperature

يعتبر عامل الحرارة من أهم العوامل في دراسة عملية الامتراز الذي يساعد الباحث على الوصول الى جميع المعلومات عن النظام المدروس، ولإكمال هذه الدراسة يجب علينا حساب جميع الدوال الشيرموداينميكية ( $\Delta H$ ,  $\Delta S$ ,  $\Delta G$ ,  $\Delta G^\circ$ ), لنظام الامتراز والذي يمكن الحصول على نوع قوى الترابط بين المادة المازة (الطين) والمادة الممتزة (الصبغة) ومن خلالها يحدد نوع الامتراز (فزيائي - الكيميائي) وكذلك الحصول على طبيعة نظام الامتراز (ماص (+) - باعث (-)) للحرارة فضلاً عن مدى تلقائية الامتراز لجزئيات الصبغة .

جدول (11) تأثير درجة الحرارة على النسبة المئوية للامتراز الصبغة (O-T) عند استخدام كمية معين من الطين (0.1g) وحجم (100ml) من محلول وبزمن تماس (90) دقيقة

$(M)C_i$	Temp.(k)	$C_e$ (mg\l)	$(mg/g)q_e$	النسبة المئوية للامتراز %
$9 \times 10^{-4}$	288	7.60	46	85.8
	293	8.8	44.8	83.5
	298	9.387	44.213	82.4
	303	19.2	34.4	64.17
	313	19.32	34.28	63.9
$7 \times 10^{-4}$	288	6.0	47.6	88.8
	293	6.17	47.43	88.4
	298	7.803	45.797	85.4
	303	10.02	43.58	81.3
	313	13.5	40.1	74.8
$5 \times 10^{-4}$	288	4.0	49.6	92.5
	293	4.2	49.4	92
	298	5.02	48.58	90.6
	303	6.6	47	87.6
	313	10.3	43.3	80.7
$3 \times 10^{-4}$	288	3.82	49.78	92.7
	293	4.038	49.56	92.4
	298	4.298	49.3	91
	303	4.89	48.71	90.8
	313	7.15	46.45	86.6
$1 \times 10^{-4}$	288	3.27	50.33	93.8
	293	3.317	50.283	93
	298	3.86	49.74	92.7
	303	4.471	49.12	91.6
	313	5.46	48.14	89.8

جدول (12) تأثير درجة الحرارة على النسبة المئوية للامتراز الصبغة (Di-m) عند استخدام كمية معين من الطين (0.1g) وحجم (100ml) من محلول وبزمن تماس (90) دقيقة

$(M)C_i$	Temp.(K)	$(mg)C_e$	$(mg/g)q_e$	النسبة المئوية للامتراز %
$9 \times 10^{-4}$	288	8.4	52.1	86.1
	293	9.4	51.1	84.4
	298	10.89	49.6	82.0
	303	12.89	47.61	78.6
	313	22.5	38	62.8
$7 \times 10^{-4}$	288	6.6	53.9	89.0
	293	6.90	53.60	88.5
	298	7.808	52.69	87.0
	303	9.251	51.249	84.7

	313	19.04	41.46	68.5
$5 \times 10^{-4}$	288	4.8	55.7	92.0
	293	5.39	55.11	91.0
	298	6.01	54.49	90.0
	303	6.531	53.969	89.2
	313	14.18	46.32	76.56
$3 \times 10^{-4}$	288	4.552	55.948	92.4
	293	4.658	55.842	92.3
	298	5.11	55.39	91.5
	303	5.311	55.189	91.2
	313	11.49	49.0	81.0
$1 \times 10^{-4}$	288	4.03	56.45	93.3
	293	4.52	55.98	92.5
	298	5.01	55.49	91.7
	303	5.311	55.289	91.2
	313	7.68	52.83	87.3

جدول (13) تأثير درجة الحرارة على النسبة المئوية للامتزاز الصبغة (Tir-m) عند استخدام كمية معين من الطين (0.1g) وحجم (100ml) من محلول وبزمن تماس (90) دقيقة

$(M)C_i$	Temp.(K)	$C_i$ (mg\l)	$(\text{mg/g})q_e$	النسبة المئوية للامتزاز %
$9 \times 10^{-4}$	288	8.89	58.71	86.8
	293	9.53	58.07	85.9
	298	10.12	57.48	85.0
	303	13.45	54.15	80.1
	313	18.24	49.46	73.1
$7 \times 10^{-4}$	288	8.63	58.97	87.2
	293	12.107	55.5	82.1
	298	12.60	55	81.3
	303	13.56	54.04	79.9
	313	17.97	49.63	73.4
$5 \times 10^{-4}$	288	5.5	62.1	91.8
	293	5.88	61.72	91
	298	6.32	61.28	90.6
	303	7.151	60.449	89.4
	313	15.41	52.19	77.2
$3 \times 10^{-4}$	288	4.9	62.7	92.75
	293	5.93	61.67	91.2
	298	6.21	61.39	90.8
	303	6.7	60.9	90.0
	313	9.78	57.82	85.5
$1 \times 10^{-4}$	288	4.14	63.4	93.8
	293	5.55	62.05	91.7
	298	5.98	61.62	91.1
	303	6.91	60.69	89.7
	313	7.78	59.8	88.4

ومن خلال التمعن في الجداول السابقة نجد ما يأتي:

أن الصبغات الثلاثة وباستخدام تراكيز ثابتة نجد عند زيادة درجة الحرارة يؤدي إلى نقصان كل من سعة الامتزاز وكفاءة الامتزاز (النسبة المئوية) وبهذا يمكن القول أن زيادة درجة الحرارة سوف يؤدي إلى تكسر الروابط بين المادة الماز والمادة الممتزة وبهذا يحفز إلى رجوع جزيئات الصبغة إلى محلول وبذلك سوف ينقص كفاءة الامتزاز ونقصان عدد الجزيئات المادة الممتزة المرتبطة بسطح الماز فتنقص وسعة الامتزاز نسبة إلى الكتلة المادة الماز ثابتة . وأن هذا التغير يشار إلى أن القوى بين المادة الممتزرة وسطح الماز (الطين) هي من نوع القوى الضعيفة مثل (فاندرفالز) وعليه فإن عملية الامتزاز تكون ذات صفات فيزيائي . (الطائي سيماء 2017)

### 3-8- دراسة الدوال الترموديناميكية :

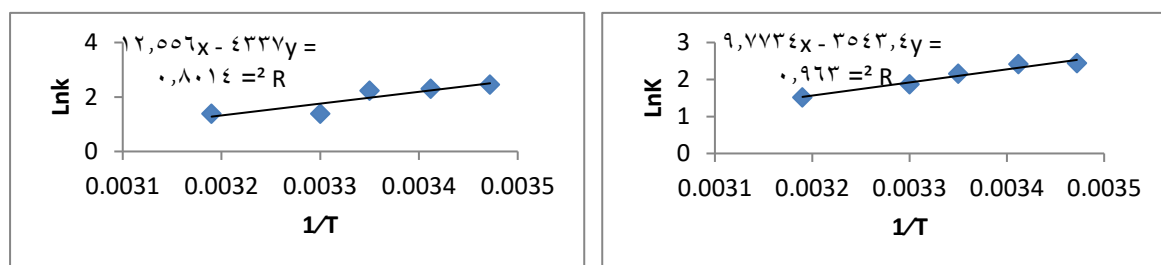
#### The Study of Thermodynamic Functions

تعتبر قيم الدوال الترموديناميكية مهمة لعملية الامتزاز والتي تعطي تقسيراً جيداً عند دراسة عملية الامتزاز . حيث توضح طبيعة نظام الامتزاز وطبيعة القوى المسطورة عليه والمسيرة لنظام الامتزاز وعلى نوع التداخل الحاصل بين جزيئات الصبغة وسطح الماز (الطين) فضلاً عن ذلك يمكن ان تعطي فكرة عن نوع التدخلات الجزيئية فيما بينها وبين المذيب والتي لها دوراً كبيراً في تحديد كفاءة الامتزاز .

### 3-9- حساب الترموديناميكية

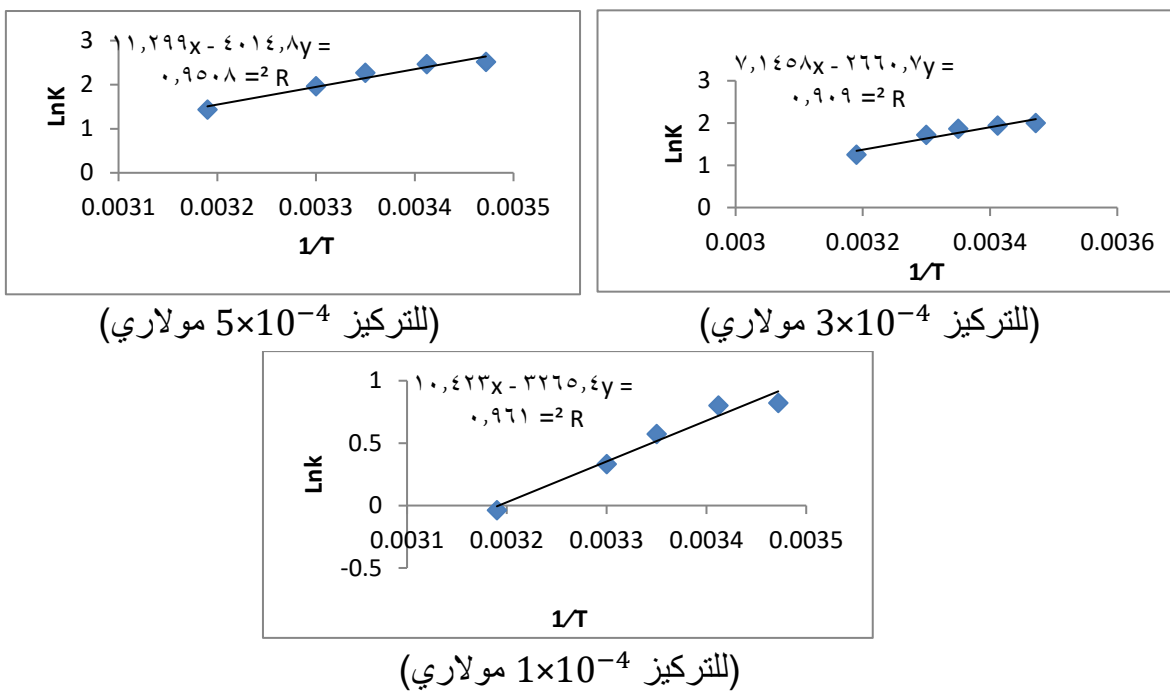
#### Determination of the Thermodynamic Functions

تم حساب قيم ثوابت توازن الامتزاز ( $k$ ) عند درجات حرارية مختلفة وفي حالة الاتزان من العلاقة بين نسبة تركيز المادة الممتزة والتركيز المتبقى لمحلول الصبغة، وتم حساب قيم الدوال الترموديناميكية للتوازن ( $\Delta G^\circ$  ،  $\Delta S^\circ$  ،  $\Delta H$ ) باستخدام المعادلات (4-5-6) ، وأعدت هذه الحسابات لقيم المذكورة بالاعتماد على قيم ثوابت فرندلخ ( $K_F$ ) ولأنكماءير ( $K_L$ ) تيمك ( $T_K$ ) وتم ايجادها من تطبيق الايزوثيرمات هذه على البيانات العلمية للامتزاز وسيتم توضيحها لاحقاً.

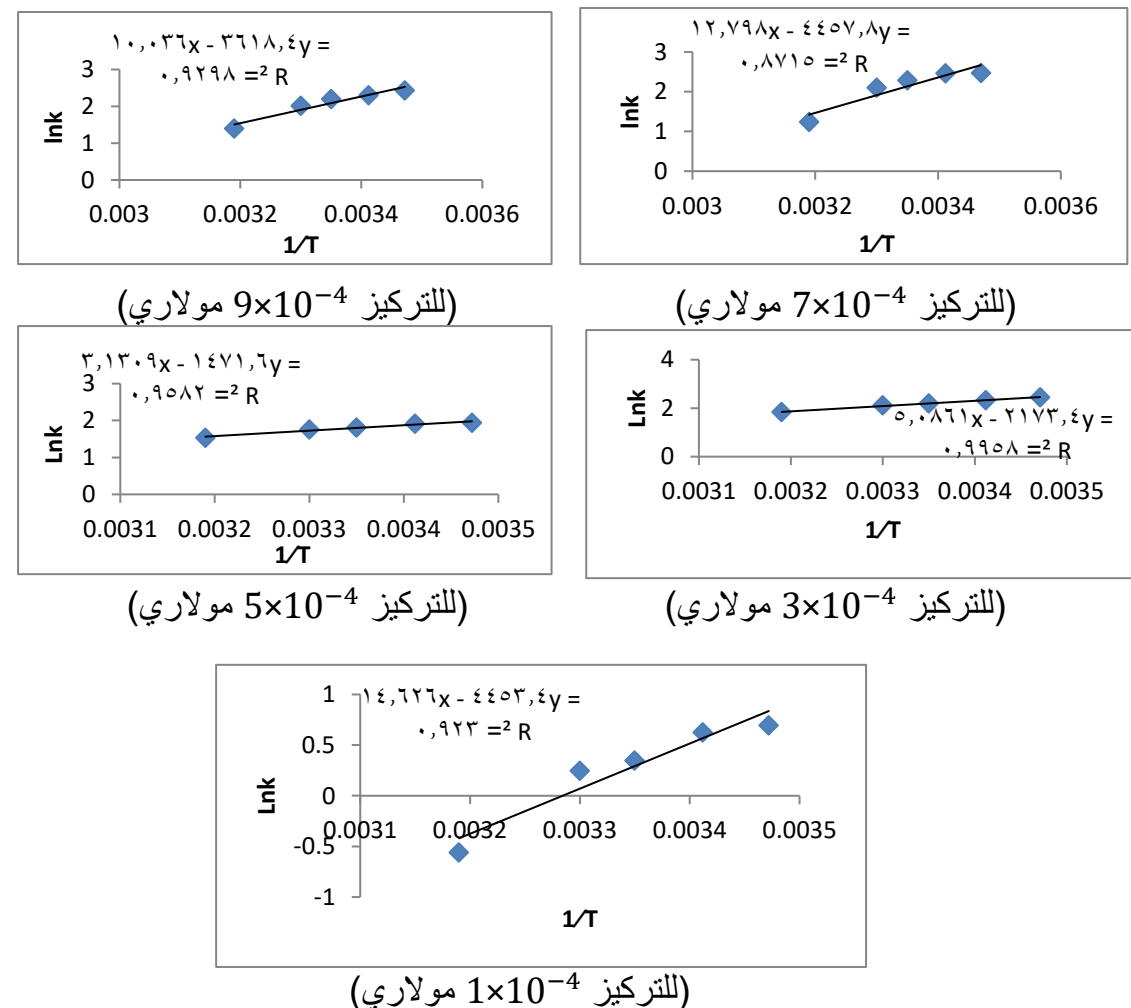


(للتركيز  $10^{-4}$  مولاري)

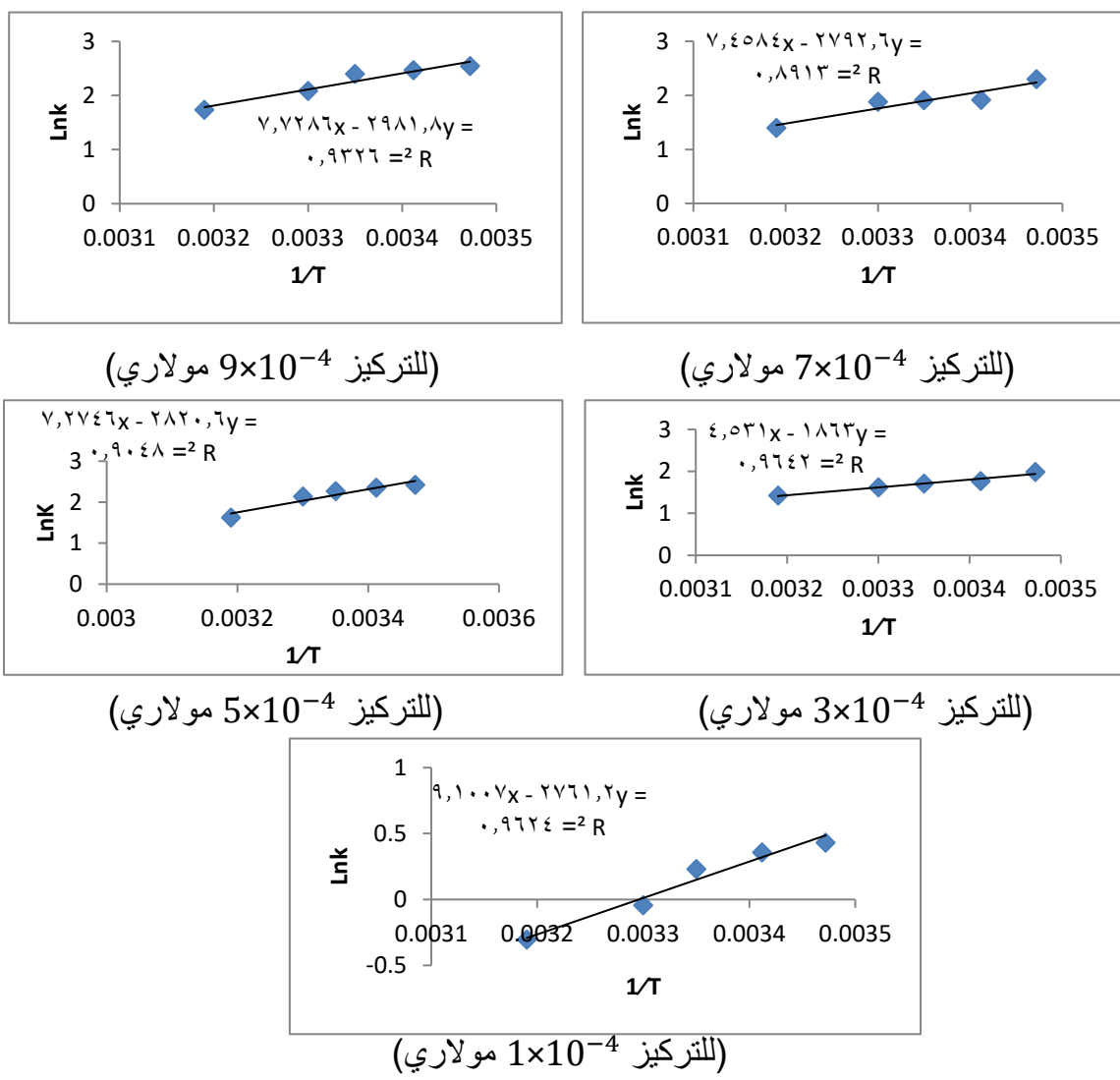
(للتركيز  $7 \times 10^{-4}$  مولاري)



الشكل (C1) العلاقة بين  $\ln k$  مقابل  $1/T$  (0-T) عند التركيز مختلف



الشكل (C2) العلاقة بين  $\ln k$  مقابل  $1/T$  ( $Di-m$ ) عند التركيز مختلف



الشكل (C3) العلاقة بين  $\ln k$  مقابل  $(1/T)$  الصبغة (Tri-m) عند التركيز مختلف

جدول (14) قيم ثوابت الاتزان والدوال термодинамики عند الاتزان لامتراز صبغة (0-T) عند استخدام كمية معين من الطين (0.1g) وحجم (100ml) من محلول وعند (pH) الطبيعية

$(M)C_i$	Temp (K)	K	$\Delta H$ (KJ.mol $^{-1}$ )	$\Delta G^\circ$ (KJ.mol $^{-1}$ )	$\Delta S^\circ$ (J.mol $^{-1}$ .k $^{-1}$ )	$\Delta S$ (J.mol $^{-1}$ .k $^{-1}$ )
$9 \times 10^{-4}$	288	11.69	-36.057	-5.887	-104	-125
	293	9.96		-5.599	-103.9	-123
	298	9.27		-5.517	-107.6	-120
	303	4.025		-3.491	-107.4	-119
	313	3.993		-3.601	-103.6	-115
$7 \times 10^{-4}$	288	11.506	-29.45	-5.847	-81.95	-102.2
	293	11.16		-5.876	-80.45	-100.5
	298	8.48		-5.334	-80.92	-98
	303	6.48		-4.710	-81.60	-97
	313	4.55		-3.945	-81.48	-94
$5 \times 10^{-4}$	288	12.4	-33.379	-6.026	-94.9	-115
	293	11.76		-6.002	-93.43	-113

	298	9.677		-5.621	-93.14	-112
	303	7.12		-4.945	-93.84	-110.1
	313	4.203		-3.734	-94.7	-106.6
$3 \times 10^{-4}$	288	7.40	-22.137	-4.791	-60.22	-76
	293	6.98		-4.720	-59	-75.5
	298	6.46		-4.620	-58.78	-74.2
	303	5.56		-4.322	-58.78	-73.0
	313	3.489		-3.250	-60.34	-70.7
$1 \times 10^{-4}$	288	2.278	-22.199	-1.971	-87.7	-94
	293	2.231		-1.953	-85.9	-92
	298	1.772		-1.422	-86.3	-91
	303	1.397		-0.841	-86.8	-89
	313	0.965		0.981	-83.6	-86.7

**جدول (15) قيم ثوابت الاتزان والدوال термодинамиكية عند الاتزان لامتزاز صبغة (Di-m) عند استخدام كمية معين من الطين (0.1g) وحجم (100ml) من محلول وعند الطبيعية (pH)**

$(M)C_i$	Temp.(K)	K	$\Delta H$ (K.J.mol $^{-1}$ )	$\Delta G^\circ$ (K.J.mol $^{-1}$ )	$\Delta S^\circ$ (J.mol $^{-1}$ .k $^{-1}$ )	$\Delta S$ (J.mol $^{-1}$ .k $^{-1}$ )
$9 \times 10^{-4}$	288	11.96	-30.08	-5.818	-84.2	-104.4
	293	10.58		-5.602	-83.5	-102.6
	298	9		-5.433	-82.7	-100.9
	303	7.44		-5.071	-82.5	-99.2
	313	3.84		-3.500	-84.9	-96.1
$7 \times 10^{-4}$	288	11.83	-37.055	-5.914	-108.1	-128
	293	11.75		-5.999	-105.9	-126
	298	9.84		-5.648	-105.3	-124
	303	8.155		-5.285	-104.8	-122.2
	313	3.448		-3.220	-108.09	-118.3
$5 \times 10^{-4}$	288	11.60	-18.066	-5.868	-42.3	-62.7
	293	10.22		-5.661	-42.3	-61.6
	298	9		-5.443	-42.35	-60
	303	8.26		-5.317	-42.0	-59.6
	313	3.266		-3.078	-47.8	-57.7
$3 \times 10^{-4}$	288	6.97	-12.229	-4.647	-26.3	-42
	293	6.793		-4.664	-25.8	-41.7
	298	6.10		-4.479	-26.0	-41.0
	303	5.834		-4.441	-25.7	-40.3
	313	2.159		-1.988	-32.7	39.0
$1 \times 10^{-4}$	288	2.002	-18.63	-1.659	-122.7	-128
	293	1.743		-1.520	-121.1	-126
	298	1.415		-0.859	-121.3	-124.2
	303	1.278		-0.617	-120.1	-122.1
	313	0.575		1.462	-113.6	-118.2

جدول (16) قيم ثوابت الاتزان والدوال الترمودينميكية عند الاتزان لامتزاز صبغة (Tri-m) عند استخدام كمية معين من الطين (0.1g) وحجم (100ml) من محلول وعند الطبيعية (pH)

$(M)C_i$	Temp. (K)	K	$\Delta H$ (KJ.mol $^{-1}$ )	$\Delta G^\circ$ (KJ.mol $^{-1}$ )	$\Delta S^\circ$ J.mol $^{-1}$ .k $^{-1}$	$\Delta S$ (J.mol $^{-1}$ .k $^{-1}$ )
$9 \times 10^{-4}$	288	12.686	-24.784	-6.096	-64.8	-86
	293	11.764		-6.004	-64.0	-84.5
	298	11.024		-5.946	-63.2	-83.1
	303	8.047		-5.252	-64.4	-81.7
	313	5.671		-4.514	-64.7	-79.1
$7 \times 10^{-4}$	288	9.967	-23.212	-5.504	-61.4	-80.5
	293	6.817		-4.674	-63.2	-79.2
	298	6.511		-4.739	-61.9	-77.8
	303	5.979		-1.788	-70.7	-76.6
	313	4.266		-3.773	-62.1	-74.1
$5 \times 10^{-4}$	288	11.290	-23.445	-5.801	-72.9	-81.4
	293	10.49		-5.724	-71.9	-80.0
	298	9.696		-5.626	-71.0	-78.6
	303	8.453		-5.377	-70.33	-77.3
	313	3.386		-3.174	-71.0	-74.9
$3 \times 10^{-4}$	288	7.278	-15.48	-4.750	-37.2	-53.7
	293	5.840		-4.287	-38.0	-52.8
	298	5.53		-4.236	-37.4	-51.9
	303	5.054		-4.081	-37.48	-51.1
	313	3.147		-3.809	-37.15	-49.4
$1 \times 10^{-4}$	288	2.265	-12.071	-1.957	-72.8	-79.6
	293	1.43		-0.869	-75.3	-78.3
	298	1.261		-0.572	-75.0	-77.0
	303	0.956		0.105	-76.0	-75.7
	313	0.737		0.788	-75.8	-73.3

وبنظر الى الاشكال (C1, C2, C3) نجد علاقات خطية وتكون بصورة جيدة وبمعامل الارتباط ( $R^2$ ) عند الدرجات الحرارية كافة وعند التركيز ابتدائية مختلفة . وتم تدقيق في الجداول (24 - 26) وقيم الدوال الترمودينميكية للاصباغ الثلاثة وثبتت الاتزان وجدنا التغيرات التالية

أ- تم ملاحظة ثوابت الاتزان (K) تتناقص تدريجياً مع زياد درجة الحرارة للصبغات وعند كل التراكيز وبهذا يشير ان عملية الامتزاز ذات طبيعة فزيائية وهذا يؤدي الى انفكاك الجزيئات الممتزة من سطح الماز (الطين) مع زيادة الحرارة وترجع الى محلول وبصورة اخرى سوف نجد ان قيم ثوابت الاتزان (K) وبشكل عام سوف تنخفض مع زيادة التركيز ولكل الصبغات (الدبوني، (2018).

- ب- أن انتالبي ( $\Delta H$ ) تكون ذات قيم سالبة عند التراكيز المختلفة وفي هذه الدراسة وهذا يشير إلى أن عملية الامتزاز تكون سالبة وبطبيعتها وبالإضافة إلى ذلك أن القيم كانت أقل من ( $40KJ.mol^{-1}$ ) وكل الصبغات وهذا يمثل دلالة واضحة على أنها طبيعة فزيائية لقوى الرابطة بين جزيئات الصبغة الممتزرة وسطح الطين الماز (Luca and Cicerok, 2003).
- ج- ان قيم الطاقة جبس الحرارة ( $\Delta G$ ) السالبة يؤكد ان عملية الامتزاز تسير بصورة تلقائي حيث تتناقص هذه القيم السالبة عند زيادة درجات الحرارة لكي تصبح عملية الامتزاز بشكل اقل تلقائي وهذا يتطابق على كون عملية الامتزاز باعثة للحرارة ولكن عند ثبوت درجات الحرارة.
- د- ان قيم الانترولي في حالة الاتزان ( $\Delta S$ ) وعندما يكون ( $\Delta G = 0$ ) حيث ان قيم ( $\Delta S^\circ$ ) وهذا يشير إلى عشوائية عملية الامتزاز اي مرحلة الامتزاز.
- ه- ان قيم الانترولي القياسي ( $\Delta S^\circ$ ) المحسوب وكل الصبغات وكل التركيز وعند مدى محدد من الحراري المستخدم (313K-288K) سوفه تبقى ثابت عن قيمتها السالبة وتكون اقل من القيم السالبة ( $\Delta S$ ) حيث كلما كانت قيمة الانترولي أكثر سالبة يدل على أنها أكثر انتظامية وعند حالة الاتزان لكل الصبغات .

### 3-10- استخدام ثابت لانكمایر في حساب الدوال الترموداینمیکیة :

تعتبر قيم ثابت لانكمایر (KL) من الطرق الجيد حساب الدوال الترموداینمیکیة التي تم الحصول عليها من لامتزاز للصبغات قيد الدراسة على سطح الطين (المادة الماز) ويمكن الحصول عليها من النتائج الذي تم الحصول عليها اذ أمكنه حساب قيم ثابت لانكمایر (KL) من حاصل ضرب (Qmax) والثابت (b) وكما في المعادلة الآتية :

$$KL = \frac{1}{Q_{max} \times b} \quad (3)$$

$$Q_{max} \times b$$

وتم استخدام معادلة فانت هوف:

$$\ln KL = (-\Delta H / RT) + C \quad (4)$$

جدول (17) يوضح قيم ثابت ( $Q_{max}$ ) و (b) ومعامل الارتباط التي تم الحصول عليها في البيانات العملية الامتزاز

اسم المركب	Tem(k)	b(L/mg)	$Q_{max}$ (mg/g)	R
O-T	288	1.987	43.01	0.9995
	293	1.5933	41.84	0.9991
	298	1.380	41.15	0.9994
	303	0.497	31.34	0.993
	313	0.398	30.86	0.9895
Di-m	288	0.1596	48.54	0.9995
	293	38.46	52.08	0.9647
	298	1.063	45.66	0.9992

	303	0.8509	43.85	0.9987
	313	0.289	33.11	0.9912
Tri-m	288	1.154	40.48	0.9986
	293	1.280	53.47	0.9991
	298	0.8919	50.50	0.9994
	303	0.7844	48.54	1
	313	0.4404	43.66	0.9986

بالنظر الى الجدول (17) يمكن ادراج الاستنتاجات التالية:

1- ان قيم معادلة النموذج ايزوثيرم لانكمایر تكون بصور جيدة حيث ينطبق على البيانات العملية لامتزاز المادة الممترزة - سطح الماز لأنظمة المدروسة ويمكن الاستدلال على ذلك من خلال العلاقات الخطية المعقولة من رسم العلاقة (qe1Ce) مقابل (Ce) والتي يكون قيم معاملات الارتباط (R) تتراوح ما بين (0.9647-1) وفي كل الدرجات الحرارية ضمن المدى المدروس.

2- ان قيم اقصى سعة نظرية للامتزاز ( $Q_{max}$ ) ( $g/L$ ) تزداد مع زيادة درجة الحرارة. ويعود السبب في ذلك الى ان نقصان درجة الحرارة يمكن ان ينشط موقع جديدة على سطح المادة المازة (الطين) المؤهلة لالرتباط بالمادة الممترزة بغض النظر الى الموقع وقوى التداخل بين جزيئات الصبغة الممترزة وان اقصى قيم لسعة الامتزاز ( $Q_{max}$ ) لاتعتمد على المادة المازة لوحدها وأنما يعتمد على عدة امور اخرى منها ترتبط بطبيعة نظام الامتزاز وطبيعة المادة الممترزة والمجاميع النشطة بها وكذلك على الشكل الهندسي والمساحة السطحية

3- ان قيم ثابت (b) بصورة عامة له علاقة بقوه ارتباط المادة الممترزة مع المادة المازة (الطين) تتناقص القوه مع زيادة ارتفاع درجة الحرارة والتي تشير الى ضعف قوه الارتباط الصبغة مع المادة المازة ويعود السبب في ذلك الى زيادة الاهتزازات الجزيئية التي تنتج من زيادة الطاقة الحركية الذي قد يسبب في انفصال ارتباطاتها وبعودتها الى المحلول وهذا ما تمت الاشارة اليه تكون الانظمة المدروسة ذات طبيعة فزيائية وان القوى المسيطرة على عملية الامتزاز تكون من نوع فاندرفالز .

ويعتبر ثابت عامل الفصل (RL) مثال على القيمة المطلقة مجردة من الوحدات ويتم حسابه من المعادلة الآتية : K.R.Hall,L.C.Eagleton, A. Acrivos,T.Vermeulen,(1966)

(B.H. Hameed,(2009) B.H. Hameed,(2009)

$$R_L = 1 / ( 1 + ( )----- ( 5 ) b^* C_i )$$

(Ci) = تمثل قيمة التركيز الابتدائي للصبغات ( $mg/L$ )

(b) = هو ثابت لأنكمایر اي طاقة التأثير

اي من خلال قيمة (RL) يمكن معرفة أن مدى قبول شكل الأيزوثيرم التي تم الحصول عليها.

تكون غير مرغوب عندما تكون قيمة ضمن المدى ( $RL > 1$ ) أو خطياً عندما ( $RL = 1$ ) ويكون مفضلاً أو مقبولاً حين يكون قيمته ضمن مدى ( $0 < RL < 1$ ) وفي هذه الحالة يكون الامتزاز غير عكسيًّا في حالة  $RL = 0$ . وعندما تطبق المعادلة (34) لحساب قيم ( $RL$ ) لأنظمة قيد الدراسة نحصل على النتائج المدرجة تطبيق في الجدول (17,18,19,20,21,22).

**جدول (18) حساب ثابت  $b$  لايزوثيرم لأنكمایر عند تراكيز مختلفة لامتزاز الصبغات وحجم (100ml) من محلول عند الدرجة الحرارية (288k) .**

اسم المركب	$b(L/mg)$	$Ci(mg/L)$	$RL$
O-T	1.987	94.48	0.00531
		75.04	0.00670
		53.6	0.00930
		32.1	0.01545
		10.72	0.04484
Di-m	0.1596	108.9	0.05440
		84.7	0.06896
		60.5	0.09389
		36.3	0.14727
		12.1	0.34129
Tri-m	1.154	121.68	0.00707
		94.14	0.00912
		67.6	0.01265
		40.56	0.02136
		13.52	0.06024

**جدول (19) حساب ثابت  $b$  لايزوثيرم لأنكمایر عند تراكيز مختلفة لامتزاز الصبغات وحجم (100ml) من محلول عند الدرجة الحرارية (293k) .**

اسم المركب	$b(L/mg)$	$Ci(mg/L)$	$RL$
O-T	1.593	94.48	0.00660
		75.04	0.00829
		53.6	0.01158
		32.1	0.01919
		10.72	0.05555
Di-m	38.46	108.9	0.00245
		84.7	0.00307
		60.5	0.00431
		36.3	0.00714
		12.1	0.02127
Tri-m	1.280	121.68	0.00638
		94.14	0.00823
		67.6	0.01196
		40.56	0.01890
		13.52	0.05464

**جدول (20) حساب ثابت  $b$  لايزوثيرم لانكمایر عند تراکیز مختلف لامتزاز الصبغات وحجم (100ml) من محلول عند الدرجة الحرارية (k298).**

اسم المركب	$b(L/mg)$	$Ci(mg/L)$	RL
O-T	1.3800	94.48	0.00761
		75.04	0.00956
		53.6	0.01335
		32.1	0.02212
		10.72	0.06369
Di-m	1.063	108.9	0.00856
		84.7	0.01098
		60.5	0.01531
		36.3	0.02531
		12.1	0.07246
Tri-m	0.8919	121.68	0.00913
		94.14	0.01177
		67.6	0.01633
		40.56	0.02695
		13.52	0.07692

**جدول (21) حساب ثابت  $b$  لايزوثيرم لانكمایر عند تراکیز مختلف لامتزاز الصبغات وحجم (100ml) من محلول عند الدرجة الحرارية (303k).**

اسم المركب	$b(L/mg)$	$Ci(mg/L)$	RL
O-T	0.497	94.48	0.02087
		75.04	0.02617
		53.6	0.03623
		32.1	0.06097
		10.72	0.15873
Di-m	0.850	108.9	0.01069
		84.7	0.01371
		60.5	0.01908
		36.3	0.03144
		12.1	0.08928
Tri-m	0.7844	121.68	0.01037
		94.14	0.01336
		67.6	0.01851
		40.56	0.03048
		13.52	0.08620

**جدول (22) حساب ثابت  $b$  لايزوثيرم لانكمایر عند تراکیز مختلف لامتزاز الصبغات وحجم (100ml) من محلول عند الدرجة الحرارية (313k).**

اسم المركب	$b(L/mg)$	$Ci(mg/L)$	RL
O-T	0.398	94.48	0.02590
		75.04	0.03246
		53.6	0.04478
		32.1	0.07299
		10.72	0.19230

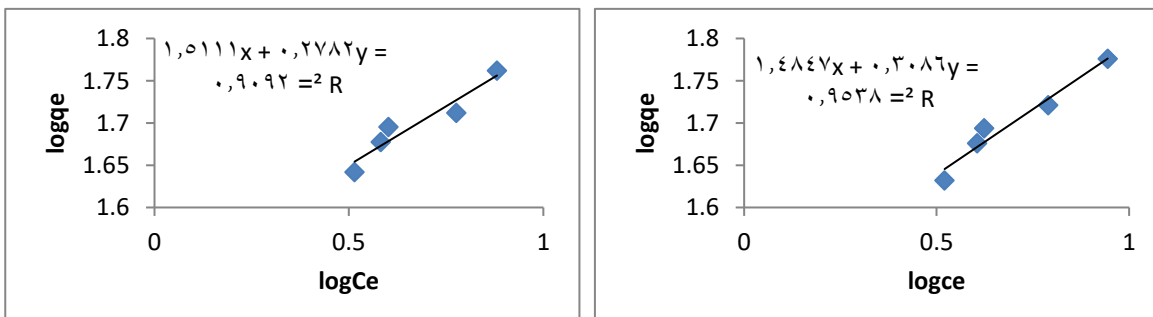
Di-m	0.289	108.9	0.03105
		84.7	0.03787
		60.5	0.05434
		36.3	0.08771
		12.1	0.22727
Tri-m	0.4404	121.68	0.01834
		94.14	0.02358
		67.6	0.03257
		40.56	0.05319
		13.52	0.14388

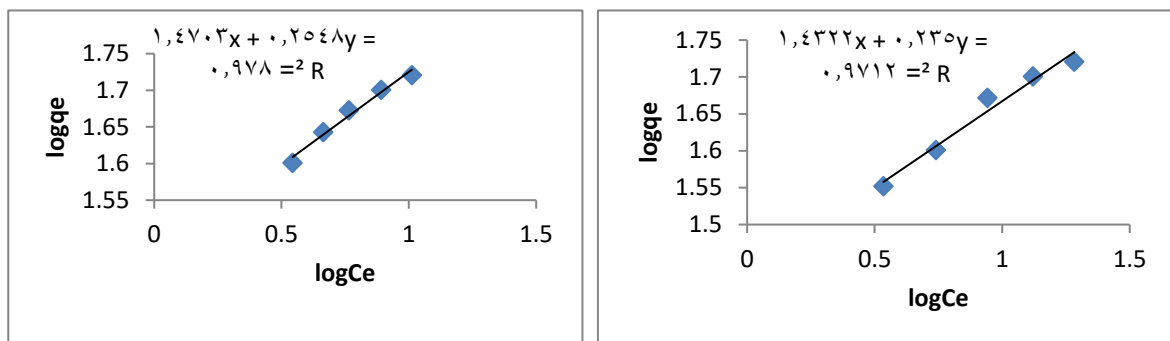
- جميع قيم ( $R_L$ ) المحسوبة وعند كل التركيز الابتدائية وعند الدرجات الحرارية المختلفة (323-288K) كانت ضمن المديات ( $R_L < 1$ ) وهذا يشار الى ان الامتراز مفضلاً وتكون ضمن المديات الذي تم اختيارها لامتداد الدراسة .
- نلاحظ من النتائج ان قيمة ( $R_L$ ) تتناقص تدريجياً مع زيادة التركيز الابتدائي وكونا يقترب بدرجة كبيرة من الشكل اللاعكسي ( $R_L$ ) تساوي الصفر ويدل على كفاءة النظام الحالي في الدراسة.
- ان قيمة تزداد ( $R_L$ ) مع زيادة درجة الحرارة وتكون قريب من الشكل الغير المرغوب والذي تعبّر قيمة قيمة ( $R_L$ ) من الواحد الصحيح وهذا يعطي اشارة الى الطبيعة الفزيائية لنظام الامتراز المدروس .

### 11-3- أيزوثيرم فرندلخ: Freundlich isotherm

طبقت معادلة هذا الايزوثيرم على الاصباغ الثلاثة المختارة والتي تم ذكرها في الجدول (6) من البحث وعند درجات الحرارية مختلفة ( $k$  313 - 288) وباستخدام المادة المازة (الطين) وذلك من خلال رسم العلاقة بين ( $\log q_e$ ) مقابل  $\log C_e$  وقد تم قيم ثوابت فرندلخ ( $n$ ) و ( $K_f$ ) من ميل الخطوط المستقيمة والمقطع المحصل عليها والمبينة في الاشكال (G1,G2,G3) وأدرجت قيم الثوابت المحسوبة من تطبيق هذا الايزوثرم في الجدول رقم (23) وكالاتي:

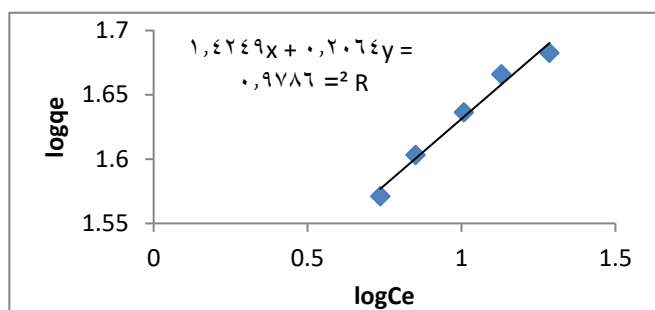
$$\ln K_f = \frac{-\Delta H}{RT} + C \quad \text{---(6)}$$





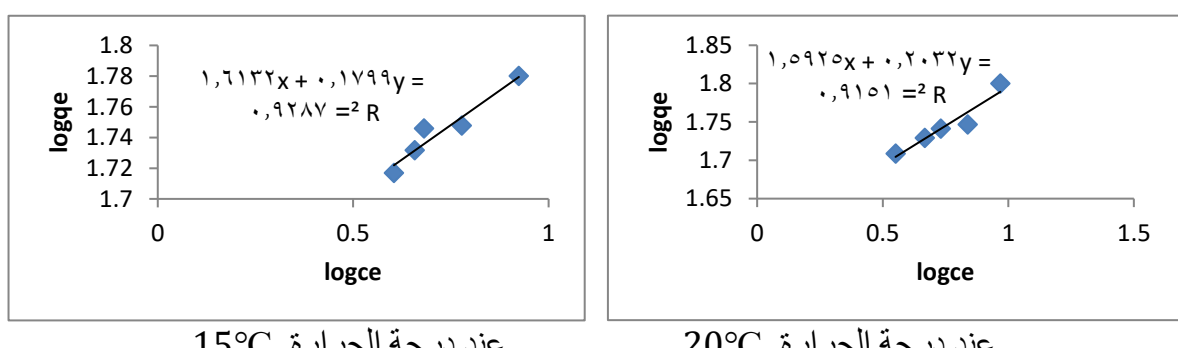
عند درجة الحرارة 25°C

عند درجة الحرارة 30°C



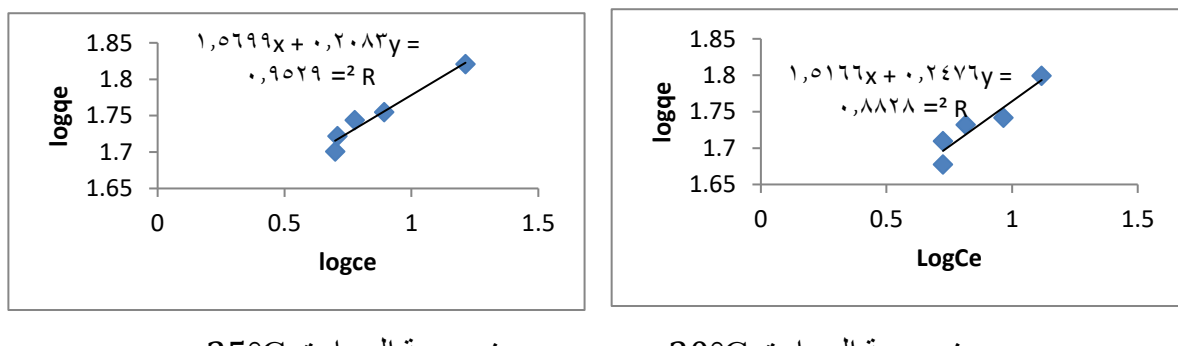
عند درجة الحرارة 35°C

الشكل (G1) أيزوثيرم فرنيلخ لامتراز الصبغة (O-T) على الطين أتيلكيت



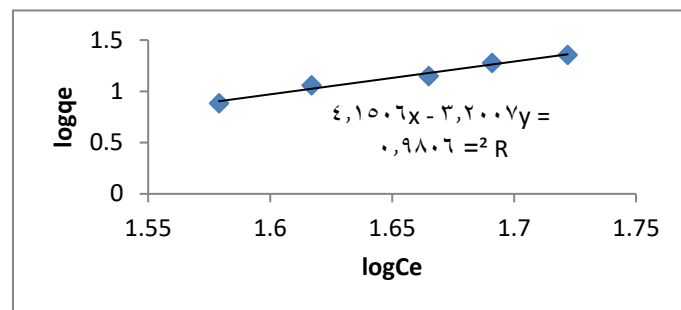
عند درجة الحرارة 15°C

عند درجة الحرارة 20°C

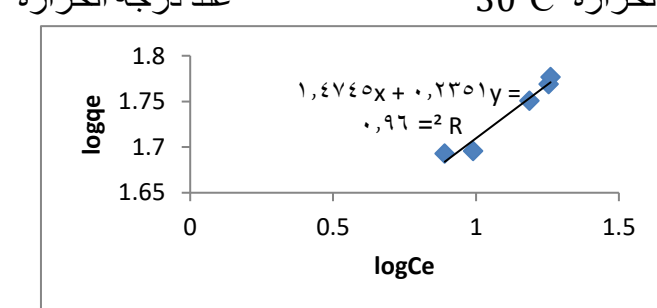
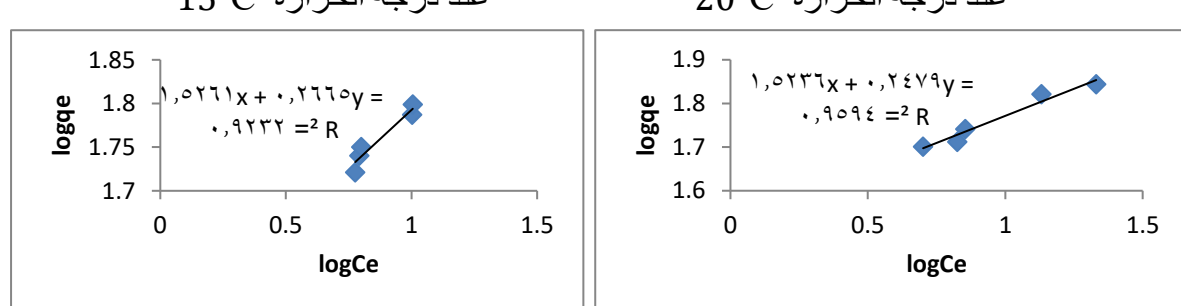
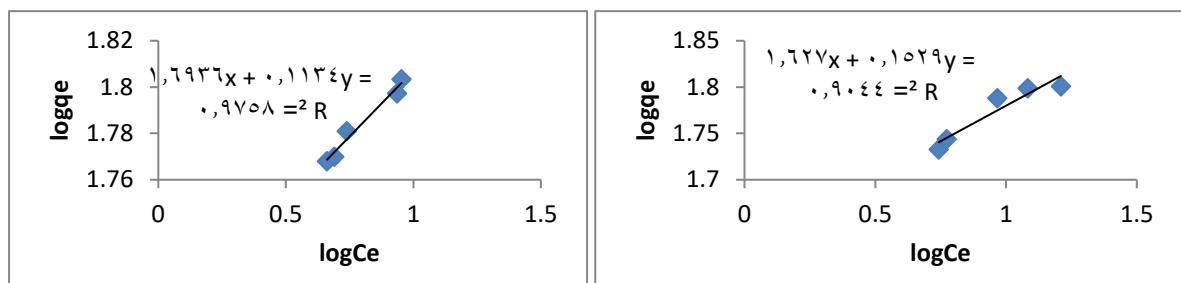


عند درجة الحرارة 25°C

عند درجة الحرارة 30°C



الشكل (G2) أيزوثيرم فرنديخ لامتزاز الصبغة (Di-m) على الطين أتابكait  
عند درجة الحرارة 35°C



الشكل (G3) أيزوثيرم فرنديخ لامتزاز الصبغة (Tri-m) على الطين أتابكait  
عند درجة الحرارة 35°C

جدول (23) قيم ثوابت فرنديخ (KF,n) ومعاملات الارتباط التي حصلت من تطبيقها على البيانات العلمية لامتراز وحجم (100ml) من محلول

اسم المركب	Temp(C°)	N	KF	R
O-T	15	3.597	32.44	0.909
	20	3.240	30.19	0.953
	25	3.937	29.53	0.978
	30	4.255	27.03	0.971
	35	4.844	26.00	0.978
Di-m	15	5.556	41.02	0.928
	20	4.921	39.08	0.915
	25	4.800	37.14	0.952
	30	4.038	32.35	0.882
	35	3.125	14.12	0.980
Tri-m	15	8.818	49.31	0.975
	20	6.540	42.36	0.904
	25	3.752	33.57	0.923
	30	4.048	33.34	0.959
	35	4.253	29.78	0.960

من خلال الجدول (23) تم الحصول على النتائج التالية :

1- ان نموذج ايزوثيرم فرنديخ يطبق على البيانات العملية للأنظمة المدروسة وذلك من خلال قيم معامل الارتباط (R) حيث تم الحصول على علاقات خطية وبشكل جيد وعند جميع الدرجات الحرارية وتترواح ما بين (0.904-0.980)

2- ان قيم (n) تزيد عن الواحد وهذا يمثل امتراز مفضلاً في هذا النوع من الدراسة . وكذلك ان قيم (n) تزداد مع تناقص في قيم درجات الحرارة ، وان كلا الاستنتاجين يؤيد ان الامتراز المدروس هو فزيائي ، وهذا ينطبق مع دراسات أخرى.(H.Wu,(2007) و (S.S.Boral,(2007))

3- أن قيم (KF) تتناقص مع زيادة درجة الحرارة وهذا يشير الى ان زيادة درجة الحرارة تتخفض او تقلل من طاقة ارتباط جزيئات الصبغة ويرجع بها الى السطح الماز اي الى المحلول المائي وبذلك تقل سعة الامتراز وهذا يؤكد الطبيعة الفزيائية للنظام المدروس (ر. ط. العبادي ،2010)

#### 4- المصادر

العابد، ابراهيم. معالجة مياه الصرف الصحي لمنطقة تقرت بواسطة نباتات منقية محلية: جامعة قاصدي مرباح ورقلة. (2015)

Zhang B, Zeng X, Xu P, Chen J, Xu Y, Luo G, et al. Using the novel method of nonthermal plasma to add Cl active sites on activated carbon

for removal of mercury from flue gas. Environ Sci Technol. 2016;50(21):11837-43

Zhang B, Zeng X, Xu P, Chen J, Xu Y, Luo G, et al. Using the novel method of nonthermal plasma to add Cl active sites on activated carbon for removal of mercury from flue gas. Environ Sci Technol. 2016;50(21):11837-43

Ab Kadir NN, Shahadat M, Ismail S. Formulation study for softening of hard water using surfactant modified bentonite adsorbent coating. Applied ClayScience.2017;137:168-75.

Mattson JA, Mark Jr HB, Malbin MD, Weber Jr WJ, Crittenden JC. Surface chemistry of active carbon: specific adsorption of phenols. J Colloid Interface Sci. 1969;31(1):116-30.

لزول، أمينة ياسمين، & السبع دراسة الأصباغ وسميتها (Doctoral dissertation), جامعة قاصدي مرباح ورقل).(2021).

Pourhakkak, P., Taghizadeh, A., Taghizadeh, M., Ghaedi, M., & Haghdoost, S. (2021). Fundamentals of adsorption technology. In Interface science and technology (Vol. 33, pp. 1-70). Elsevier.

ر.ط. العبادي ، (2010)، "دراسة ثرموديناميكية وحركية امتصاص الأصباغ ثنائية الازو على الكاريون المنشط في المحاليل المائية" ، اطروحة دكتوراه، جامعة الموصل.

R.Malik, D.S.Ramteke, S.Wate,(2006), "Adsorption of malachite green on groundnut shell waste based powderd activated carbon", J. was.Manag.,27,1-8.

Rajabi,M., Moradi,O., & Zare, K. (2017). Kinetics adsorption study of the ethidium bromide by grapheme oxide as adsorbent from aqueous matrices. International Nano Letters,7,35-41.s

Iscen ,C. F.Kiran ,I. Ilhan ,S.(2007),"Biosorption of reactive black 5 dye by penicillium restrictum :The kinetic study", Journal of Hazardous Materials., 143,pp.335-338.

شندالة، زكي عبد الغني (2012)" دراسة تأثير بعض معوضات الأمين الأولي على امتصاص عدد من الأصباغ الازو المشتقة من الأليلين بيتا نفثول على مواد مازة مختلفة، رسالة ماجستير، كلية العلوم، جامعة الموصل.

العبادي، رائد طارق غانم(2010)" دراسة ثيرمودانميكية وحركية امتراز الاصباغ ثنائية الازو على الكاربون المنشط في المحاليل المائية" ، اطروحة دكتوراه، كلية التربية، جامعة الموصل .

الدبوبي، صفوان عبد الستار . (2018)" دراسة ثيرمودانميكية وحركية لنظام الامتراز لعدد من اصباغ الازو وعلى أنواع مختلفة من الاطيان المحورة، اطروحة دكتوراه، كلية التربية للعلوم الصرفة، جامعة الموصل.

الجريري، أبراهيم علي محمد (2005) " دراسة العوامل المؤثر على امتراز بعض اصباغ الازو ومعقداتها" ، رسال ماجستير ،كلية التربية، جامعة الموصل

B.H. Hameed,(2009),"Spent tea leaves: Anew non-conventional and low-cost adsorbent for removal of basic dye from aqueous solutions", J .Hazard.Mater.,161,p.753-759.

B.H. Hameed,(2009),"Loofa egptyiaca as a novel dye from aqueous solution ",J.Enviro.Manag.,90,p2755-2761.

K.R.Hall,L.C. Eagleton, A. Acrivos,T.Vermeulen,(1966)," Pore and solid diffusion kinetics in fixed -bed adsorption under constant pattern conditions",I& Ec Fundam.5,p.212-223

C .H.Wu,(2007),"Adsorption of reactive dyes onto carbon nanotubes: Equilibrium, Kinetics and thermodynamics" ,J.Hazard. Mater., 144, p.96-98.

S.S.Baran,(2007),"Adsorption of hexavalent chromium from aqueous solution using various adsorbents", Ph. D. Thesis, National Institute of technology Roukela Indi K.Srinivasan, N.B. Balasubramanian,

T.V.Ramakrishnan,(1988),"Studies on chromium removal by rice husk carbon", Indian J.Environ.Health30,p.376-387.

Lucas, S.and Cocero ,M.J.(2003),"Study and modeling of furfural adsorption on activated carbon under supercritical conditions", Available on E-Mail: [Susana@iq.uva.es](mailto:Susana@iq.uva.es).